

名古屋工業大学 正員 松浦 聖
名古屋工業大学大学院 学生員 ○木全 隆

まえがき - 本解析は橋梁の鋼床版などに使用されている三層の長方形サンドイッチ板における曲げ応力状態を調べるものである。長方形サンドイッチ板の厳密解は、例えば金ポテンシャルエネルギーの停留条件から得られる基礎方程式¹⁾を2重フーリエ級数に展開することによっても得られるが、ここでは変位法による有限要素解析を行っている。

仮定²⁾ - この解析においては次に示す仮定をもちいた。

1. 表板は比較的高い弾性係数をもち、曲げと引張りに抵抗するものとする。
2. 心材では垂直応力は無効とし、横せん断力にのみ抵抗するものとする。
3. 二板の表板は等しいタワミを生ずるものとするので、タワミ方向への垂直応力は生じない。しかし、それぞれの表板は面内方向への変位を考えるとき独立である。
4. 材料は表板・心材ともに直交異方性とする。

応力-ひずみ関係 - 図1および図2を参考して、次式のように書かれる。

i) 表板を f_i ($i=1,2$) とし、それぞれの曲げモーメント、ねじりモーメント、および面内力を添字 i をもつて表わすと、

$$\left. \begin{aligned} M_{xi} &= -[(d^b)_{xi} \frac{\partial^2 w}{\partial x^2} + (d^b)_{ii} \frac{\partial^2 w}{\partial y^2}] \\ M_{yi} &= -[(d^b)_{ii} \frac{\partial^2 w}{\partial x^2} + (d^b)_{yi} \frac{\partial^2 w}{\partial y^2}] \\ M_{xyi} &= Z(d^b)_{xyi} \frac{\partial^2 w}{\partial x \partial y} \end{aligned} \right\} \quad (1 \cdot a)$$

ここで

$$\left. \begin{aligned} (d^b)_{xi} &= E_x t_i^3 / Iz(1-\nu_{xi}\nu_{yi}), (d^b)_{yi} = E_y t_i^3 / Iz(1-\nu_{xi}\nu_{yi}) \\ (d^b)_{xyi} &= G_{xyi} t_i^3 / Iz, (d^b)_{ii} = \nu_{yi} (d^b)_{xi} = \nu_{xi} (d^b)_{yi} \end{aligned} \right\} \quad (1 \cdot b)$$

$$\left. \begin{aligned} N_{xi} &= (d^p)_{xi} \frac{\partial u_i}{\partial x} + (d^p)_{ii} \frac{\partial v_i}{\partial y} \\ N_{yi} &= (d^p)_{ii} \frac{\partial u_i}{\partial x} + (d^p)_{yi} \frac{\partial v_i}{\partial y} \\ N_{xyi} &= (d^p)_{xyi} (\frac{\partial u_i}{\partial y} + \frac{\partial v_i}{\partial x}) \end{aligned} \right\} \quad (2 \cdot a)$$

ここで

$$\left. \begin{aligned} (d^p)_{xi} &= E_x t_i / (1-\nu_{xi}\nu_{yi}), (d^p)_{yi} = E_y t_i / (1-\nu_{xi}\nu_{yi}) \\ (d^p)_{xyi} &= G_{xyi} t_i, (d^p)_{ii} = \nu_{yi} (d^p)_{xi} = \nu_{xi} (d^p)_{yi} \end{aligned} \right\} \quad (2 \cdot b)$$

ii) 心材について

$$Q_{xz} = (d^s)_{xz} f_{xz}, Q_{yz} = (d^s)_{yz} f_{yz} \quad (3 \cdot a)$$

ここで

$$\left. \begin{aligned} (d^s)_{xz} &= G_{xz} f_{xz}, (d^s)_{yz} = G_{yz} f_{yz} \\ f_{xz} &= \frac{C}{h} (\frac{v_2 - v_1}{C} + \frac{\partial w}{\partial y}), f_{yz} = \frac{C}{h} (\frac{u_2 - u_1}{C} + \frac{\partial w}{\partial x}) \\ C &= h + \frac{1}{Z} (t_1 + t_2) \end{aligned} \right\} \quad (3 \cdot b)$$

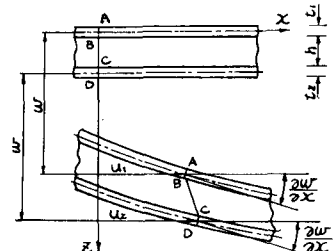


図1 タワミと面内変位

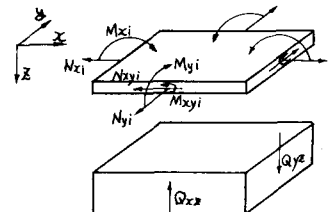


図2 表板と心材の応力

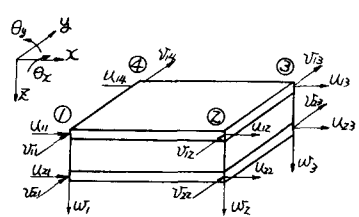


図3 要素の節点変位

有限要素解析⁴⁾

変位関数および節点変位-要素の節点変位を図3に示すように決めた。そして、タフミW、面内変位 u_i, v_i, w_i を次式で仮定した。

$$\left. \begin{aligned} W &= a_1 + a_2x + a_3y + a_4x^2 + a_5xy + a_6y^2 + a_7x^3 + a_8x^2y + a_9xy^2 + a_{10}y^3 + a_{11}x^3y + a_{12}x^2y^2 \\ u_i &= b_1 + b_2x + b_3y + b_4xy, \quad u_i = c_1 + c_2x + c_3y + c_4xy \\ v_i &= d_1 + d_2x + d_3y + d_4xy \end{aligned} \right\} \quad (4)$$

ここで、節点変位 $\{\delta\}^e = \{[\delta_1], [\delta_2], [\delta_3], [\delta_4]\}^T ([\delta_i] = \{w_i, \theta_{xi}, \theta_{yi}, u_{ii}, v_{ii}, u_{zi}, v_{zi}\})$ を用いて、未定係数 $\{a_i, \{b_i\}, \{c_i\}, \{d_i\}, \{e_i\}$ は、求められ得る。(たがって変位関数 $\{W\}$ は、式(4)のように求められる。

$$\{A\} = \{a_i, \{b_i\}, \{c_i\}, \{d_i\}, \{e_i\}\}^T = [C]^{-1} \{\delta\}^e \quad (5)$$

$$\{F\} = \{W, u_i, v_i, u_z, v_z\}^T = [P]\{A\} = [P][C]^{-1} \{\delta\}^e \equiv [N]\{\delta\}^e \quad (6 \cdot 2)$$

ここで

$$[P] = \begin{bmatrix} 1, x, y, x^2, xy, y^2, x^3, x^2y, xy^2, y^3, x^3y, xy^3 \\ 1 & x & y & xy \end{bmatrix} \quad (6 \cdot b)$$

つぎに、式(1),(2),(3)に対応するひずみを考えると次式のようになる。

$$\{\varepsilon\} = \left\{ -\frac{\partial^2 w}{\partial x^2}, -\frac{\partial^2 w}{\partial y^2}, \frac{\partial^2 w}{\partial x \partial y}, \frac{\partial w}{\partial x}, \frac{\partial w}{\partial y} + \frac{\partial v}{\partial x}, k_{xz}, k_{yz}, -\frac{\partial^2 w}{\partial z^2}, -\frac{\partial^2 w}{\partial y^2}, \frac{\partial^2 w}{\partial x \partial y}, \frac{\partial w}{\partial y}, \frac{\partial w}{\partial y} + \frac{\partial v}{\partial z} \right\} \quad (7)$$

$$\{\varepsilon\} = [Q]\{A\} = [Q][C]^{-1} \{\delta\}^e = [B]\{\delta\}^e \quad (8)$$

剛性マトリックスおよび等価節点力-要素の剛性マトリックス $[K]^e$ は、式(1),(2),(3)および式(8)より次のように与えられる。

$$[K]^e = \iint [B]^T [D] [B] dx dy = \{C\}^{-1} \iint [Q]^T [D] [Q] dx dy [C]^{-1} \quad (9)$$

ここで、 $[D]$ は式(1),(2),(3)をまとめてマトリックス表示したときのものであり、次に示される。

$$[D] = \begin{bmatrix} D_1^p & & & & 0 \\ & D_1^p & & & \\ & & D_2^p & & \\ & & & D_2^p & \\ 0 & & & & D_2^p \end{bmatrix}, [D_1^p] = \begin{bmatrix} (d^p)_{xi}(d^p)_{ii} & 0 \\ (d^p)_{xi}(d^p)_{ji} & 0 \\ 0 & (d^p)_{ji}(d^p)_{ii} \end{bmatrix}, [D_2^p] = \begin{bmatrix} (d^p)_{xi}(d^p)_{ii} & 0 \\ (d^p)_{xi}(d^p)_{ji} & 0 \\ 0 & (d^p)_{ji}(d^p)_{ii} \end{bmatrix}, [D^s] = \begin{bmatrix} (d^s)_{xi} & 0 \\ 0 & (d^s)_{ji} \end{bmatrix} \quad (10)$$

この剛性マトリックスに対する等価節点力 $[Q]^e$ は、物体力を $\{p\}$ とすると次式で与えられる。

$$[Q]^e = - \iint [N^*]^T [p] dx dy = -[C]^{-1} \iint [P^*]^T [p] dx dy \quad (11)$$

ただし、 $[N^*]$ は $[N]$ 中において p の方向に無効となるものを除いたマトリックスである。また $[P^*]$ も同様である。以上により求められた要素の剛性マトリックスと等価節点力を板全体について重ね合せ、境界条件を考慮してこの連立方程式を解くことによって節点変位を知ることができる。そして、求める応力状態は、式(1),(2),(3)および式(8)を用いることにより得られる。

解析例としては、長方形サンドイッチ板を弾性基礎上においた場合の応力状態を与える。特別な例として、弾性係数に不連続が生じて不等荷重を起した場合についても解析している。ここで、地盤の弾性係数は板の座標の関数として分布させるものとする。

参考文献

- 1) 林毅；軽構造の理論とその応用(下)，第15章サンドイッチ構造
- 2), 3). Khatua, T. P. & Cheung, Y. K.; Triangular Element for Multilayer Sandwich Plates, ASCE, No. EM 5 Oct. 1972 ↑
- 4). Zienkiewics, O. C. & Cheung, Y. K.; The Finite Element Method in Structural and Continuum Mechanics